

تحلیل الگوی فضایی پرفسار جنب حاره بر روی آسیا و آفریقا

هوشنگ قائemi^{*}، آذر زرین^۱، مجید آزادی^۲، منوچهر فرج زاده اصل^۳

- ۱- استاد جغرافیا و مشاور سازمان هواشناسی کشور، تهران، ایران
۲- دانشجوی دکتری اقلیم شناسی، دانشگاه تربیت مدرس، تهران، ایران
۳- استادیار پژوهشکده هواشناسی و علوم جوی سازمان هوای شناسی کشور، تهران، ایران
۴- استادیار گروه جغرافیا، دانشگاه تربیت مدرس، تهران، ایران

دریافت: ۸۶/۴/۱۰ پذیرش: ۸۶/۱۰/۲۶

چکیده:

به منظور بررسی زمانی و مکانی پرفسار جنب حاره بر منطقه آسیا-آفریقا، از داده‌های دوباره تحلیل شده میانگین ماهانه NCEP/NCAR با تفکیک افقی ۲/۵ درجه استفاده شد. ارتفاع ژئوپتانسیل و مؤلفه‌های مداری و نصف‌النهاری باد در ترازهای ۱۰۰، ۵۰۰، ۲۰۰ و ۱۰۰ هکتوپاسکال در یک دوره ۳۰ ساله (۱۹۷۱-۲۰۰۰) برای تعیین ویژگیهای جغرافیایی مرکز پرفسار، فراوانی آن و تعیین جایگاه خط پشتۀ در محدوده ۷۰ درجه غربی تا ۱۲۰ درجه شرقی از آوریل تا اکتبر مطالعه شده قرار گرفت. نتایج نشان می‌دهد که تقاضه آشکاری در موقعیت استقرار مرکز پرفسار جنب حاره در ترازهای زیرین، میانی و فوقانی وردسپهر وجود دارد؛ به طوری که پرفسار جنب حاره‌ای آزو ر در شرق اقیانوس اطلس شمالی در تراز زیرین، پرفسار شمال غرب آفریقا و عربستان در تراز میانی و پرفسار تبت در تراز فوقانی وردسپهر به صورت مراکزی مستقل جای گرفته، در صورتی که مرکز پرفسار ایران هم در تراز میانی و هم فوقانی وردسپهر مشاهده می‌شود. الگوی موقعیت جغرافیایی مرکز پرفسار در فصل تابستان در ترازهای ۱۰۰، ۵۰۰، ۲۰۰ و ۱۰۰ هکتوپاسکال برتریب یک مُدی (شرق اقیانوس اطلس)، سه مُدی (شمال غرب آفریقا-عربستان-ایران)، پراکنده (از جنوب چین تا غرب ایران) و دو مُدی (فلات تبت-فلات ایران) است. بیشینه عرض جغرافیایی خط پشتۀ پرفسار جنب حاره در تمامی



ترازها مربوط به ماه اوت است که در تراز ۵۰۰، ۲۰۰ و ۱۰۰ هکتوپاسکال بترتیب روی ضلع شمالی فلات تبت، منطقه وسیعی از شرق تا غرب آسیا و ایران قرار گرفته است. بیشترین جهش خط پشته از نظر عرض جغرافیایی در سه تراز ۵۰۰، ۲۰۰ و ۱۰۰ هکتوپاسکال از ماه ژوئن به ژوییه است که در امتداد برخی نصف النهارها حتی به ۱۰ درجه نیز می‌رسد.

کلید واژه‌ها: پرفسار جنب حاره، اقلیم تابستانه، پرفسار آزور، خط پشته.

۱- مقدمه

در بررسی گردش بزرگ مقیاس جو، کمربندهایی از پرفسار یا پرارتفاع در حول وحوش عرضهای جغرافیایی ۳۰ درجه شمالی و جنوبی مشاهده می‌شوند که معمولاً به عنوان کمربندهای پرفسار جنب حاره خوانده می‌شوند. وجود نامهواریها، تضاد خشکی-دریا، برهم کنش دریا-هوا، پوشش یخ دریا و برف و برخی عوامل دیگر بودجه انرژی جو را تغییر داده و کمربندها را به سلولهایی منفرد جدا می‌کند^۱[۱، ص۵۶۰]. این سلولها یا مراکز پرفسار در نیمه گرم سال نواحی وسیعی را در وردسپهر^۲ زیرین، میانی و فوقانی در بر می‌گیرند و استقرار دراز مدت آنها در نواحی جنب حاره سبب ایجاد مناطق بسیار خشک و بیابانی با حساسیت اکولوژیکی فوق العاده شده است؛ به طوری که وردش‌های^۳ مکانی و تغییر شدت این مراکز و بهتیع آن نابهنجاری در گردش‌های منطقه‌ای و جهانی، تأثیر قابل ملاحظه‌ای بر وضعیت اقتصادی و اجتماعی مردم این نواحی دارد. از این رو، مطالعه این مراکز از دیرباز موضوع بسیاری از پژوهش‌های هواشناختی و اقلیم شناختی بوده است.

در یکی از اولین مطالعات در سال ۱۹۳۹م، رید با بررسی دمای پتانسیل، نم ویژه و میدان باد ماههای ژوئیه و اوت ۱۹۳۶ و ۱۹۳۷ خاطر نشان می‌کند که ارتباط آشکاری بین دمای سطح زمین و موقعیت سلول پرارتفاع بر آمریکای شمالی وجود دارد^۴[۲، صص ۲۰۱-۲۰۴]. میسون و اندرسون در سال ۱۹۶۳ با بررسی نقشه‌های وضع هوای روزانه در ترازهای ۱۰۰ و ۵۰ هپ (هکتوپاسکال) سالهای ۱۹۵۷-۱۹۵۹، واچرخند آسیا در تراز ۱۰۰ هکتوپاسکال را شدیدترین و دائمی‌ترین گردش این سطح فشاری در نیمکره شمالی معرفی کردند^۵[۳، صص ۳-۲۲۰].

1. Troposphere
2. Variations

۱۲]. در مطالعه‌ای دیگر نیاما (۱۹۶۸) با استفاده از میانگین ارتفاع ژئوپتانسیل در ماه اوت برای ۹ سال، مورفولوژی واچرخندهای جنوب حاره‌ای نیمکره شمالی را بررسی کرد و نتیجه گرفت که بین شدت واچرخند شمال غرب اقیانوس آرام در سطح زمین و واچرخند جنوب آسیا در تراز ۱۰۰ هکتوپاسکال ارتباط کمی وجود دارد. او همچنین بالاترین دمای واچرخند جنوب آسیا نسبت به واچرخندهای قاره آمریکای شمالی را ناشی از اثر گرمایشی متفاوت کوههای هیمالیا و راکی دانسته است[۴، صص ۴۳۱-۴۴۱].

در سال ۱۹۸۹، بل و بوسارت با استفاده از داده‌های ۱۵ ساله (۱۹۷۷-۱۹۶۳) با تفکیک ۲/۵ درجه ارتفاع ژئوپتانسیل، اقلیم شناسی مراکز چرخدن و واچرخدن بسته تراز ۵۰۰ هکتوپاسکال در نیمکره شمالی را مطالعه و مشاهده کردند که مراکز واچرخدن بسته غالباً در عرضهای جنوب حاره استقرار یافته و بیشینه‌های ارتفاعی آنها در طی نیمه گرم سال بر روی خشکیهای بشدت گرم شده آمریکای شمالی، شمال آفریقا و آسیا استقرار می‌یابند[۵، صص ۲۱۴۲-۲۱۶۳]. تا اواسط سال ۱۹۹۵ بیشتر مطالعات مربوط به پروفشارهای جنوب حاره ای تابستانه بود که در منطقه آسیا به بررسی ویژگی‌های آن در ارتباط با مانسون آسیایی مربوط می‌شد[۶، صص ۲۰۵-۲۱؛ ۷، صص ۲۲۴-۱۳۴۷؛ ۸، صص ۲۲۴-۱۳۴۷]. دیویس و همکاران در سال ۱۹۹۷ با استفاده از روش تحلیل مؤلفه اصلی، داده‌های شبکه‌بندی شده روزانه فشار تراز دریا در سالهای ۱۸۹۰-۱۹۹۰ را برای تعیین ساختار مکانی واچرخدن آزور مورد بررسی قرار دادند. نتایج نشان داد که پروفشار آزور یک الگوی تابستانه به طوری که پروفشار به صورت یک سلول روی اقیانوس اطلس مرکزی قرار می‌گیرد و یک الگوی زمستانه را که دو سلول یکی روی جنوب شرق ایالات متحده و دیگری بر روی غرب مراکش مستقر می‌شوند از خودنشان می‌دهد[۱۱، صص ۷۲۸-۷۴۴]. در سال ۲۰۰۲ زانگ و وو با به کار گیری داده‌های میانگین ۵ روزه با تفکیک افقی ۲/۵ درجه از سال ۱۹۸۰-۱۹۹۴ فعالیتهای پروفشار جنوب آسیا را بررسی و نتیجه گرفتند که پروفشار جنوب آسیا بسته به موقعیت قرارگیری خود به دو الگوی تبتی و ایرانی تقسیم می‌شود. آنها شکلگیری الگوی تبتی را بیشتر در رابطه با گرمایش در رود بر روی فلات تبت و استقرار الگوی ایرانی را بیشتر همراه با گرمایش بی در رود در جو آزاد و گرمایش در رود در نزدیکی سطح زمین عنوان کردند[۱۲، صص ۷۳۳-۷۴۴]. کوان و همکاران در سال ۲۰۰۲ وردش فصلی پروفشار جنوب آسیا را بررسی و ضمن تأیید نتایج زانگ و وو جایگاه پروفشار جنوب آسیا را در ارتباط با



بیشینه گرمایش فصلی برآورد کردند[۱۲]، صص ۸۲۱-۸۳۶.

در یکی از آخرین مطالعات انجام شده، گالارنیو و همکاران در سال ۲۰۰۶، اقلیم شناسی ۵۴ ساله (۱۹۵۰-۲۰۰۳) واچرخندهای بسته عرضهای جنب حاره و میانی را در ۳ تراز ۸۵۰، ۵۰۰ و ۲۰۰ هکتوپاسکال بررسی کردند. نتایج بررسی فوق نشان داد که واچرخندهای بسته تراز ۲۰۰ هکتوپاسکال فقط در طی فصل تابستان بر روی قاره‌های مناطق جنب حاره ایجاد می‌شوند؛ در حالی که واچرخندهای بسته تراز ۵۰۰ هکتوپاسکال در طی تمامی فصول بر روی اقیانوسهای جنب حاره و در فصل تابستان بر روی قاره‌های جنب حاره ایجاد می‌شوند. واچرخندهای بسته تراز ۸۵۰ هکتوپاسکال نیز در مناطق اقیانوسی در زیر ناوه تراز بالا ایجاد می‌شوند[۱۴].

مرور تحقیقات انجام شده در رابطه با پرفسنارهای جنب حاره در خاورمیانه و ایران، بیانگر کمبود مطالعات و نقص و شکاف علمی قابل ملاحظه‌ای در این رابطه می‌باشد. از محدود مطالعات انجام یافته در ایران می‌توان به بررسی حجازی زاده (۱۳۷۲) اشاره کرد. وی با استفاده از نقشه‌های همدیدی تراز ۵۰۰ هکتوپاسکال، موقعیت مکانی حد شمالی و شرقی پرفسنار جنب حاره، ارتباط آن با تاوه قطبی و اثر آن بر بارش‌های ایران را بررسی کرده و پربند ۵۸۴ ژئوپتانسیل دکامتر را معرف حد شمالی پرفسنار جنب حاره دانسته است[۱۵]. با توجه به موارد فوق سؤالاتی که در مقاله حاضر مطرح بوده عبارتند از:

- ۱- وردش‌های زمانی و مکانی پرفسنارهای جنب حاره در منطقه مطالعه شده چگونه است؟
- ۲- آیا پرفسنارهای جنب حاره‌ای مستقر روی آسیا و آفریقا در ترازهای مختلف وردسپهر، از نظر موقعیت جغرافیایی محل استقرار بر یکی‌گر انطباق دارند؟

با توجه به نقش انکارنایزی پرفسنار جنب حاره در اقلیم کشور، هدف اصلی پژوهش حاضر بررسی ویژگی‌های جغرافیایی پرفسنار جنب حاره روی منطقه آسیا-آفریقا و وردش‌های زمانی و مکانی آن است. به این منظور ابتدا موقعیت متوسط پرفسنار جنب حاره در ترازهای مختلف وردسپهر بررسی شده و سپس فراوانی مرکز پرفسنار از نظر زمانی و مکانی مورد توجه قرار می‌گیرد. در ادامه خط پشته پرفسنار جنب حاره به عنوان معیاری برای بررسی موقعیت مکانی آن بررسی می‌شود

۲- مواد و روشها

به منظور بررسی وضعیت پروفشار جنب حاره بر ایران و تعیین ارتباط آن با مراکز پروفشار مجاور و همچنین به دست آوردن یک دید جامع، منطقه مطالعه شده از طول جغرافیایی ۶۰ درجه غربی تا ۱۲۰ درجه شرقی و عرض جغرافیایی صفر تا ۴۵ درجه شمالی انتخاب شد.

پروفشارهای جنب حاره ویژگی غالب مناطق جنب حاره در دوره گرم سال می باشند. برای آنکه جایه جایی ماهانه موقعیت مرکز پروفشار و خط پشته آن بویژه در ماههای انتقالی از فصل بهار به تابستان و همچنین به پاییز بخوبی مشخص شود، علاوه بر سه ماه تابستان، الگوهای میانگین ۳۰ ساله و سال به سال دو ماه آخر بهار (آوریل-مه) و دو ماه اول پاییز (سپتامبر-اکتبر) نیز مطالعه شد.

داده‌های استفاده شده در این پژوهش، داده‌های دوباره تحلیل شده با تفکیک افقی ۲/۵ در یک دوره ۳۰ ساله (۱۹۷۱-۲۰۰۰) است که از مرکز پیش‌بینی محیطی / مرکز ملی پژوهش‌های جوی (NCEP/NCAR) تهیه شد [۱۶، صص ۲۶۸-۲۴۷]. به منظور تعیین موقعیت مکانی مرکز و خط پشته پروفشار جنب حاره، از داده‌های ماهانه ارتفاع ژئوپتانسیل و مؤلفه‌های مداری و نصف‌النهاری باد در چهار تراز ۱۰۰۰، ۵۰۰، ۲۰۰ و ۱۰۰ هکتوپاسکال استفاده شد.

مرکز پروفشار جنب حاره و خط پشته آن به روش‌های زیر برآورد شد.

۱- مرکز پروفشار جنب حاره نقطه شبکه‌ای درنظر گرفته شد که بیشترین ارتفاع ژئوپتانسیل را در مقایسه با سایر نقطه شبکه‌های مجاور دارا بوده و موقعیت جغرافیایی آن با طول و عرض بیان شده است. بیشینه ارتفاع ژئوپتانسیل معمولترین معیار برای تعیین مرکز پروفشار جنب حاره محسوب می‌شود [۵، صص ۲۱۴۲-۲۱۶۳؛ ۱۲، صص ۷۳۳-۷۴۴؛ ۱۳، صص ۸۲۱-۸۳۶؛ ۱۷، صص ۵۵۸-۵۷۰؛ ۱۸، صص ۷۲۳-۷۴۴]. شایان ذکر است که در صورت وجود بیشینه‌های متعدد در هر مورد مشاهداتی، با شرط وجود اختلاف حداقل ۱۰ ژئوپتانسیل متر در شبکه‌های حد فاصل بین دو بیشینه مجاور، هر دو به عنوان مرکز پروفشار محسوب شده‌اند.

۲- خط پشته پروفشار جنب حاره در جایی ترسیم شد که مؤلفه باد مداری برابر با صفر بوده و در بالای این خط تغییرات آن در جهت نصف‌النهاری مثبت و در زیر آن منفی بوده است. به عبارت دیگر دو شرط زیر برای تعیین خط پشته در نیمکره شمالی لازم می‌باشد [۱، صص ۵۶۰]:



$$(a) \quad u = 0 \quad ; \quad \omega \\ (b) \quad \frac{\partial u}{\partial y} > 0 \quad (1)$$

به منظور تبیین بهتر پروفشارهای جنب حاره تابستانه، مقادیر منفی تاوایی نسبی برای تشخیص مراکز با بیشینه گردش و اچرخندی استفاده شد. مقادیر تاوایی نسبی برحسب وارون ثانیه بیان و از رابطه زیر محاسبه می‌شود [۱۹، ص ۵۰۲]:

$$\zeta_r = \frac{\Delta v}{\Delta x} - \frac{\Delta u}{\Delta y} \quad (2)$$

۳- تجزیه و تحلیل

۳-۱- موقعیت متوسط پروفشار جنب حاره

بررسی نقشه متوسط ۳۰ ساله (۱۹۷۱-۲۰۰۰) ارتفاع ژئوپتانسیل و تاوایی تراز ۱۰۰۰ هکتوپاسکال برای فصل تابستان (ژوئن- ژوئیه- اوت)، نشاندهنده استقرار سلول پروفشاری در شرق اقیانوس اطلس است. محور اصلی این پروفشار همان طوری که شکل ۱- الف نشان می‌دهد، در عرض جغرافیایی ۳۵ درجه شمالی قرار دارد. متوسط ارتفاع ژئوپتانسیل در مرکز این پروفشار که پروفشار آزور نامیده می‌شود- به ۲۱۰ ژئوپتانسیل متر (حدود ۱۰۲۵ هکتوپاسکال) می‌رسد. در واقع در منطقه مطالعه شده در تراز زیرین جو، سلول پروفشار آزور تنها مرکز پروفشار دوره گرم سال محسوب می‌شود. تاوایی نسبی در مرکز پروفشار نیز به حدود ۰۰۰۰۰۰۹- بر ثانیه می‌رسد که نشانگر گردش و اچرخندی شدید در این منطقه است (شکل ۱- الف).

شکل ۱- ب متوسط ارتفاع ژئوپتانسیل و تاوایی نسبی منفی در تراز ۵۰۰ هکتوپاسکال را نشان می‌دهد، به طوری که در شکل دیده می‌شود، سلول پروفشاری با بیشینه ۵۹۱ ژئوپتانسیل متر روی شمال غرب آفریقا و یک سلول کوچکتر نیز با پربند ۵۸۹۰ ژئوپتانسیل متر روی شبه جزیره عربستان مستقر است. بررسی تاوایی در این تراز نشاندهنده چند منطقه با تاوایی منفی زیاد می‌باشد. از آنجایی که تاوایی منفی بیانگر گردش و اچرخندی است، بنابراین سه منطقه شمال غرب آفریقا، ایران و عربستان دارای بیشترین شدت گردش و اچرخندی می‌باشند.

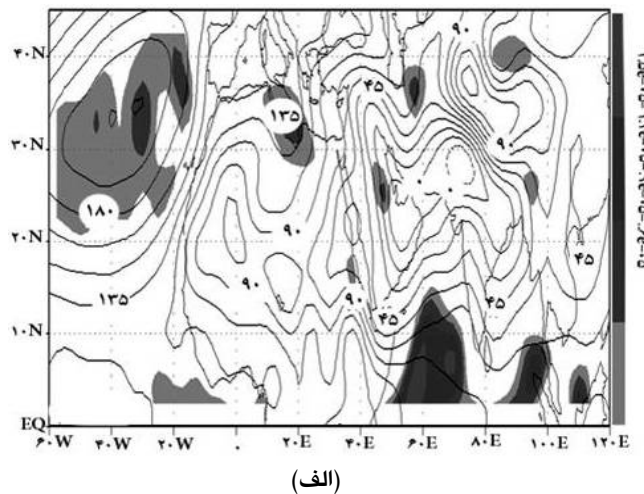
نکته جالب آنکه مقدار تاوایی منفی روی ایران همچون شمال غرب آفریقا به حداقل خود، یعنی ۰/۰۰۰۲- بر ثانیه می‌رسد که از میزان تاوایی منفی روی عربستان کمتر است. بررسی

ارتفاع ژئوپتانسیل و تاوایی در این تراز نشان می‌دهد که گرچه در این نقشه روی ایران سلول پرفسار مستقلی دیده نمی‌شود و در ظاهر زبانه‌ای از سلولهای پرفسار آفریقا و عربستان به روی ایران کشیده شده است، اما در مقایسه با پرفسار عربستان، وجود تاوایی منفی بیشتر همراه با گردش واچرخندی شدیدتر نشانده‌هندۀ ماهیت متفاوت الگوی گردش جو بر روی منطقه ایران است.

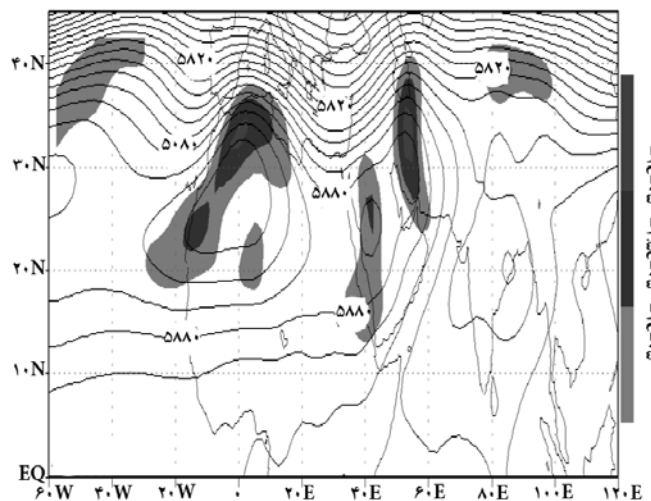
بررسی ارتفاع ژئوپتانسیل در تراز ۲۰۰ هکتوپاسکال بیانگر وجود یک سلول پرفسار بسیار وسیع بر روی جنوب آسیا است که از سمت غرب تا مرکز آفریقا نیز امتداد یافته است. محور پرفسار تقریباً در عرض جغرافیایی ۲۷ درجه شمالی قرار گرفته و ارتفاع ژئوپتانسیل مرکز آن به بیش از ۱۲۵۴۰ ژئوپتانسیل متر می‌رسد. بیشترین تاوایی منفی نیز با مقدار ۰۰۰۰۰۲۵- بر ثانیه در دو منطقه یکی بر روی نیمه غربی ایران- عراق و دیگری روی فلات تبت در غرب چین مشاهده می‌شود(شکل ۱-ج).

تراز ۱۰۰ هکتوپاسکال الگویی نسبتاً مشابه با تراز ۲۰۰ هکتوپاسکال را نشان می‌دهد(شکل ۱-د). در این تراز پرفسار مستقر روی جنوب آسیا بسیار وسیعتر شده است. به طوری که از غرب تا اقیانوس اطلس و از شرق تا مرز منطقه مطالعه شده امتداد یافته است. در این تراز، محور پرفسار به عرضهای شمالی‌تر کشیده شده و به عرض جغرافیایی ۳۰ درجه می‌رسد. پربند ۱۶۸۰۰ ژئوپتانسیل متر به عنوان سلول مرکزی پرفسار در این تراز، از شرق فلات تبت تا غرب ایران را در بر گرفته است و سلول کوچکی نیز بر روی فلات تبت در شرق نصف-النهار $E^{\circ} ۸۰$ با ۱۶۸۳۰ ژئوپتانسیل متر مشاهده می‌شود.

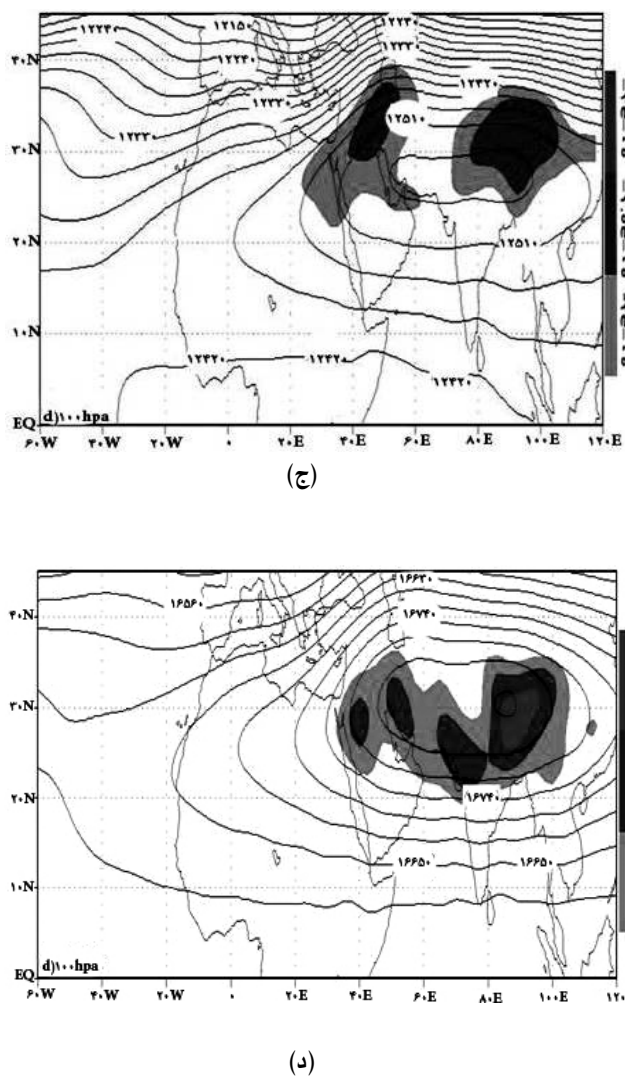
_____ تحلیل الگوی فضایی پرسنل جنب حاره ...



(الف)



(ب)



شکل ۱ میانگین ۳۰ ساله (۱۹۷۱-۲۰۰۰) فصل تابستان (ژوئن-ژوییه-اوت) ارتفاع ژئوپتانسیل و تاوایی نسبی منفی. شکلهای الف-د بترتیب مربوط به ترازهای ۱۰۰۰، ۵۰۰، ۲۰۰ و ۱۰۰ هکتوپاسکال می باشند. واحد ارتفاع ژئوپتانسیل gpm و واحد تاوایی s^{-1} است.



بررسی تاوایی در این تراز نشان می‌دهد که شدیدترین گردش واچرخندی و بیشترین مقادیر تاوایی منفی با سلول اصلی پرفسار جنب حاره کاملاً انطباق دارد، به طوری‌که تاوایی منفی کمتر از ۰/۰۰۰۲ بر ثانیه به صورت کمرنگی از شرق فلات بت تا غرب خاورمیانه را تحت تأثیر گردش واچرخندی خود قرار داده و بیشینه آن روی فلات بت، شمال غرب هند-پاکستان، جنوب غرب ایران و شمال شبے جزیره عربستان مشاهده می‌شود. بررسی الگوهای ژئوپتانسیلی در ترازهای فوق بیانگر آن است که تفاوت‌های آشکاری در مراکز پرفسار در سطح زمین، وردسپهر میانی و فوقانی وجود دارد. در این میان دو تراز ۲۰۰ و ۱۰۰ هکتوپاسکال (که نمایانگر ترازهای فوقانی وردسپهر هستند) الگوی مشابهی را به نمایش می‌گذارند.

برای بررسی وضعیت متوسط ماهانه پرفسار جنب حاره، وضعیت ارتفاع ژئوپتانسیل و تاوایی آن از ماه آوریل تا ماه اکتبر در چهار تراز ۱۰۰۰، ۵۰۰، ۲۰۰ و ۱۰۰ هکتوپاسکال بررسی شد. به دلیل زیادبودن تعداد نقشه‌ها (۴ نقشه برای هر ماه، در مجموع ۲۸ نقشه)، در اینجا از ارائه نقشه مربوط به هر ماه صرفنظر و تنها نتایج بررسیها در جدولهای ۱ و ۲ ارائه شده است.

جدول ۱ ویژگیهای جغرافیایی میانگین ۳۰ ساله (۱۹۷۱-۲۰۰۰) مرکز پرفسار و تاوایی نسبی آن
دردو تراز ۱۰۰۰ و ۵۰۰ هکتوپاسکال

تاوایی نسبی (واحد: S^{-1})			ویژگیهای مرکز پرفسار					ماه	تراز
عرض جغرافیایی	طول جغرافیایی	بیشینه تاوایی منفی	طول جغرافیایی	عرض جغرافیایی	جایگاه جغرافیایی	ارتفاع رئوبلنسیل (واحد: gpm)			
۱۷/۰	۶۵	-۱/۳۲۵-۰/۰	-۳۵/۰	۳۳/۷	اقیانوس اطلس	۱۹۳/۸	آوریل	۱۰۰۰	
۱۵	۸۷/۵	-۱/۲۶۵-۰/۰							
۲۰	۵۰	-۱/۲۰-۰/۰	-۳۵/۷	۳۴/۰	اقیانوس اطلس	۲۰۴/۴			
۲۲/۰	-۳۰	-۹۶/۷۴-۰/۶							
۲۵	۴۷/۵	-۱/۳۴-۰/۰	-۳۵/۷	۳۳/۷	اقیانوس اطلس	۲۱۴/۴			
۲۲/۰	-۳۰	-۱/۰۵۰-۰/۰							
۲۲/۰	-۳۰	-۱/۲۶-۰/۰	-۳۸/۰	۳۵/۲	اقیانوس اطلس	۲۲۴/۶			
۲۷/۰	-۱۷/۰	-۱/۲۶۰-۰/۰							
۳۷/۰	-۱۷/۰	-۱/۲۰-۰/۰	-۳۶/۷	۳۵/۲	اقیانوس اطلس	۲۰۸/۴			
۲۲/۰	-۳۰	-۱/۳۴۰-۰/۰							
۲۵	۴۷/۵	-۱/۱۷۰-۰/۰	-۳۱/۳	۳۵/۰	اقیانوس اطلس	۱۹۳/۶	سپتامبر	۵۰۰	
۲۰	-۲۲/۰	-۹/۰۰-۰/۶							
۲۲/۰	۱۱۲/۵	-۱/۱۹۰-۰۰	-۳۴/۳	۳۵/۴	اقیانوس اطلس	۱۸۹/۰			
۲۵	۴۷/۵	-۱/۱۸۴۰-۰۰					اکتبر	۴۰۰	
۱۷/۰	-۲/۰	-۱/۷۹۰-۰/۰	۲/۰	۱۵/۷		۵۸۷۴/۱			
۲۰	۸۰	-۱/۷۷۰-۰/۰	۵۱/۴	۱۵/۳	-	۵۸۷۶/۵			
۱۷/۰	۱۱۲/۵	-۲/۱۵۴۰-۰/۰							
۲۲/۰	۴۵	-۲/۱۰۰-۰/۰	۱/۸	۱۸/۴	غرب آفریقا	۵۸۹۲/۴	م	۴۰۰	
۲۲/۰	۱۰	-۱/۸۸۰-۰/۰	۴۹/۱	۲۰/۶	جنوب عربستان	۵۸۹۰/۰			



ادامه جدول ۱

تاوایی نسبی (واحد: S^{-1})			ویژگی های مرکز پرسشار					ماه	تراز
عرض جغرافیایی	طول جغرافیایی	بیشینه تاوایی منفی	طول جغرافیایی	عرض جغرافیایی	جایگاه جغرافیایی	ارتفاع زئوپتلسیل (gpm)			
۳۰	۵۷/۰	-۲/۳۵۲-۰/۰	۴/۹	۲۴/۱	شمال غرب آفریقا	۵۹۱۷/۰	ژوئن	۵۰۰	
۲۵	۴۲/۰	-۲/۱۷۲-۰/۰	۴۸/۳	۲۵/۴	مرکز عربستان	۵۸۹۲/۶			
۲۷/۰	-۱۲/۰	-۱/۸۸۲-۰/۰							
۳۵	۵۲/۰	-۲/۶۹۲-۰/۰	-۱/۱	۳۰/۳	شمال غرب آفریقا	۵۹۳۷/۳	ژوئیه	۵۰۵	
۲۲/۰	.	-۲/۰۲۲-۰/۰	۵۰/۳	۳۲۰/۸	جنوب غرب ایران	۵۸۹۳/۷			
۲۲/۰	-۲/۰	-۲/۵۶۲-۰/۰	-۱/۴	۲۰/۳	شمال غرب آفریقا	۵۹۳۱/۷			
۳۵	۵۲/۰	-۲/۴۳۲-۰/۰	۴۶/۰	۲۸/۹	غرب ایران- عراق	۵۸۹۸/۷	اوت		
۲۷/۰	۴۲/۰	-۲/۱۲۲-۰/۰	-۷/۸	۲۵/۰	شمال غرب آفریقا	۵۹۰۰/۴	سپتامبر	۵۱۰	
۳۰	۵۵	-۱/۷۹۲-۰/۰	۴۱/۰	۲۶/۱	مرکز عربستان	۵۸۹۵/۹			
۲۲/۰	۱۱۲/۰	-۱/۸۲۲-۰/۰	-۱۸/۶	۲۰/۷	غرب آفریقا	۵۸۷۵/۴			
۲۷/۰	۴۵	-۱/۶۰۲-۰/۰	۴۹-۳	۲۱/۷	مرکز عربستان	۵۸۸۱/۸	اکتبر		
۲۵	۵۷/۰	-۱/۰۰۲-۰/۰							

جدول ۲ ویژگیهای جغرافیایی میانگین ۳۰ ساله (۱۹۷۱-۲۰۰۰) مرکز پرفسار و تاوایی نسبی آن در دو تراز ۱۰۰ و ۲۰۰ هکتوپاسکال

تاوایی نسبی (واحد: m^{-1})			ویژگی های مرکز پرفسار					ماه	تراز
عرض جغرافیایی	طول جغرافیایی	بیشینه تاوایی منفی	طول جغرافیایی	عرض جغرافیایی	جایگاه جغرافیایی	ارتفاع ژوپینسیل (gpm)			
۱۷/۵ ۲۰	۲۰ ۱۰/۵	-۲/۲۲۰-۰/۰ -۳/۱۱۰-۰/۰	۱۱۵/۷ -۷/۹ ۳۰/۶	۱۱/۸ ۱/۴ ۲/۷	-	۱۲۴۶۵/۷ ۱۲۴۶۲/۹ ۱۲۴۳۸/۷	آوریل	۱۰۰	
۱۷/۵ ۲۲/۵	-۲/۵ ۱۰۵	-۲/۰۵-۰/۰ -۲/۳۷-۰/۰	۱۰۵/۲ -۱۵/۰	۱۷/۳ ۷/۳	-	۱۲۴۹۱/۴ ۱۲۴۶۸/۳			
۳۰ ۳۰	۴۷/۵ ۹۷/۵	-۲/۳۰-۰/۰ -۲/۳۰-۰/۰	۹۶/۸ ۶۲/۱	۲۴/۵ ۲۰/۶	شمال بreme جنوب شرق ایران	۱۲۵۳۶/۹ ۱۲۵۲۹/۴	ژوئن	۲۰۰	
۳۷/۵ ۳۲/۵	۵۰ ۸۵	-۲/۲۱-۰/۰ -۲/۱۶-۰/۰	۵۹/۵۳ ۸۷/۵	۳۰/۲ ۲۸/۸	شرق ایران فلات تبت	۱۲۵۷۸/۸ ۱۲۵۷۲/۰			
۳۷/۵ ۳۵	۴۷/۵ ۸۷/۵	-۲/۲۳-۰/۰ -۲/۱۳-۰/۰	۸۶/۷ ۶۲/۳	۲۹/۲ ۲۹/۶	فلات تبت شرق ایران	۱۲۵۷۲/۰ ۱۲۵۶۴/۰	اوت	۲۰۰	
۳۲/۵ ۳۰	۹۵ ۴۵	-۲/۳۵۱-۰/۰ -۲/۷۰-۰/۰	۵۷/۵ ۹۱/۱	۲۵/۸ ۲۵/۴	جنوب ایران جنوب شرق فلات تبت	۱۲۵۱۱/۷ ۱۲۵۰۸/۳			
۲۵	۹۷/۵	-۲/۳۹-۰/۰	۱۱۳/۸ ۶۱/۰	۱۹/۲ ۱۸/۰	-	۱۲۴۷۳/۷ ۱۲۴۰۵/۷	اکتبر	۲۰۰	
۱۷/۵ ۲۰ ۱۷/۵	۱۰ ۸۰ ۱۰/۲۰	-۲/۴۱-۰/۰ -۱/۷۸-۰/۰ -۲/۰۲-۰/۰	۱۰۴/۱-۱۰/۲ ۵۱/۲	۰/۰۴ ۱۳/۳ ۷/۵	-	۱۶۶۰۵/۹ ۱۶۶۴۲/۷ ۱۶۶۲۹/۹	آوریل	۱۰۰	
۱۷/۵ ۲۷/۵ ۲۵	۲/۵ ۹۲/۵ ۱۱۲/۵	-۲/۱۰-۰/۰ -۲/۲۰-۰/۰ -۲/۲۰-۰/۰	۹۶/۱ ۰/۳	۲۰/۹ ۷/۰	برمه شمال خلیج گینه	۱۶۶۹۹/۱ ۱۶۶۶۷/۱			

ادامه جدول ۲

تاویی نسبی (واحد: m^3)			ویژگی های مرکز پرفسار					ماه	تراز
عرض جغرافیایی	طول جغرافیایی	بیشینه تاویی منفی	طول جغرافیایی	عرض جغرافیایی	جاگاه جغرافیایی	ارتفاع ژئوپتانسیل (gpm)			
۲۷/۵	۹۰	-۳/۵۰-۰/۵	۸۸/۸	۲۸/۳	فلات تبت	۱۶۷۹۸/۶	ژوئن	۱۰۰	
۲۲/۵	۷۵	-۲/۸۴-۰/۰	۶۵/۵	۲۸/۰	جنوب افغانستان	۱۶۷۹۴/۲			
۳۰	۵۵	-۲/۷۰-۰/۵							
۳۰	۸۷/۵	-۳/۴۱-۰/۰	۵۷/۹	۳۳/۳	شرق ایران	۱۶۸۷۱/۱	ژوئیه	۱۰۰	
۲۵	۷۰	-۳/۱۳-۰/۰	۸۷/۱	۳۱/۴	فلات تبت	۱۶۸۶۷/۵			
۳۲/۵	۵۰	-۲/۸۳-۰/۰							
۳۰	۸۵	-۳/۱۶۵-۰/۰	۵۹/۱	۲۲/۰	شرق ایران	۱۶۸۴۹/۷	اوت	۱۰۰	
۴۵	۷۰	-۳/۰۴-۰/۰	۸۵/۰	۳۱/۶	فلات تبت	۱۶۸۴۴/۹			
۳۰	۴۰	-۲/۷۸۵-۰/۰							
۳۰	۵۲/۵	-۲/۷۵۵-۰/۰							
۲۷/۵	۸۷/۵	-۳/۱۷۵-۰/۰	۸۸/۸	۲۸/۰	فلات تبت	۱۶۷۴۱/۹	سپتامبر	۱۰۰	
۲۲/۵	۷۵	-۲/۵۸۵-۰/۰	۶۸/۸	۲۷/۸	پاکستان	۱۶۷۳۴/۷			
۲۵	۹۲/۰	-۲/۷۵۵-۰/۰	۹۸/۸	۲۱/۶	شرق برمه	۱۶۶۵۲/۷			
۲۵	۱۱۵	-۲/۳۸۵-۰/۰	۱۴/۵	۸/۵	خليج گينه	۱۶۶۱۷/۰			

جدولهای مذکور نشان می دهند در کلیه ترازهای بررسی شده بیشینه ارتفاع ژئوپتانسیل در مرکز پرفسار مربوط به ماه ژوئیه است. بیشترین میزان تاویی منفی نیز در دو تراز ۵۰۰ و ۲۰۰ هکتوپاسکال در ماه ژوئیه و در دو تراز ۱۰۰۰ و ۱۰۰ هکتوپاسکال در ماه ژوئن مشاهده می شود. مرکز پرفسار در تراز ۱۰۰۰ هکتوپاسکال در کلیه ماههای مورد بررسی روی اقیانوس اطلس مستقر است (جدول ۱).

مرکز پرفسار در تراز ۵۰۰ هکتوپاسکال روی غرب- شمال غرب آفریقا، عربستان و ایران (جدول ۱) و در ترازهای ۲۰۰ و ۱۰۰ هکتوپاسکال بویژه در طی ماههای فصل تابستان به طور عمده بر روی شرق- جنوب شرق ایران و فلات تبت استقرار پیدا کرده است (جدول ۲).

۲-۳- فراوانی مرکز پرفسار جنب حاره

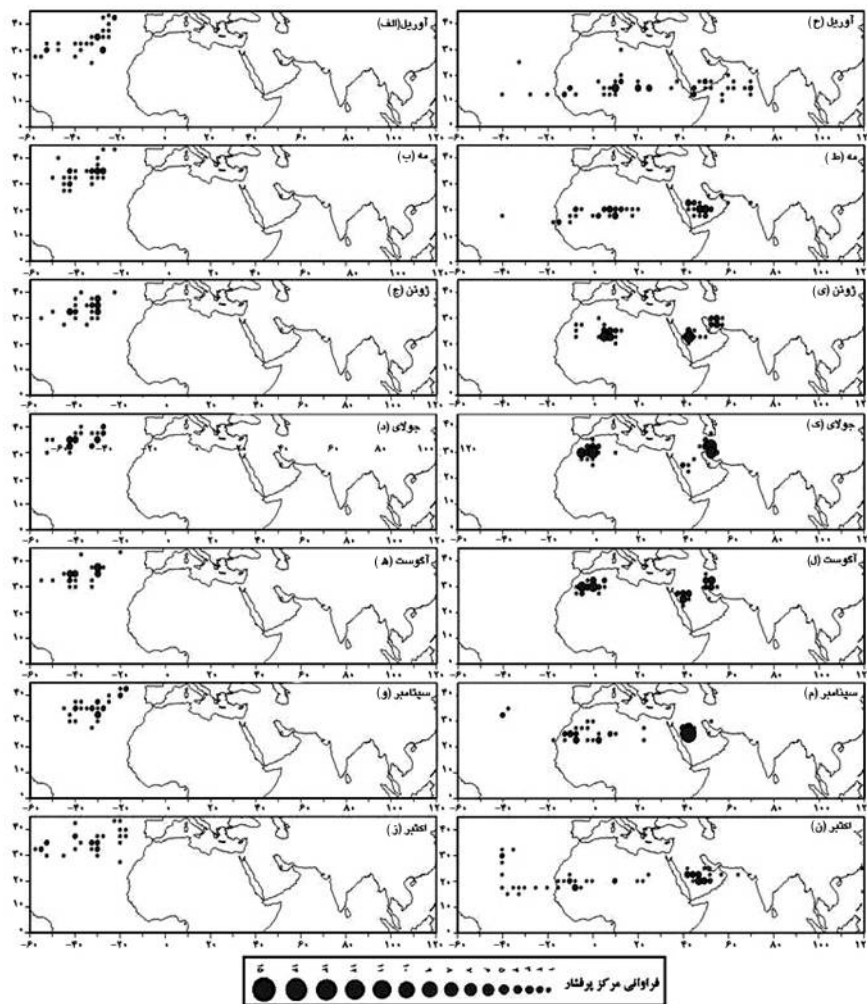
به منظور بررسی موقعیت جغرافیایی پرفسار جنب حاره، فراوانی مرکز پرفسار جنب حاره در طی یک دوره ۳۰ ساله (۱۹۷۱-۲۰۰۰) در منطقه مطالعه شده تعیین شد. برای آنکه جایه جایی ماهانه موقعیت مرکز پرفسار بویژه در ماههای انتقالی از فصل بهار به تابستان و همچنین به پاییز بخوبی مشخص شود، علاوه بر سه ماه تابستان، دو ماه آخر بهار (آوریل-مه) و دو ماه اول پاییز (سپتامبر-اکتبر) نیز مطالعه شد. بررسیهای اولیه نشان داد که بجز تراز ۱۰۰۰ هکتوپاسکال، در سایر ترازها گاهی در یک زمان معین دو یا چند مرکز پرفسار بسته در منطقه بررسی شده وجود دارد که تمام این مراکز به عنوان مرکز پرفسار در نظر گرفته شده است.

در بررسی فراوانی مرکز پرفسار جنب حاره در تراز ۱۰۰۰ هکتوپاسکال (شکل‌های ۲-الف تا ۲-ز) مشاهده می‌شود که مرکز پرفسار جنب حاره در این تراز در محدوده طول جغرافیایی $5^{\circ} 25' W$ و عرض جغرافیایی $30^{\circ} 25' N$ جایگاه پیدا کرده است، به طوری که در شکل‌ها مشاهده می‌شود، مرکز پرفسار جنب حاره در این تراز برخلاف سایر ترازها، در تمامی ماهها از تمرکز و ثبات جغرافیایی خاصی در یک منطقه معین (شرق اقیانوس اطلس شمالی) برخوردار است.

در تراز ۵۰۰ هکتوپاسکال موقعیت قرارگیری مرکز پرفسار بجز در ماههای آوریل و اکتبر متغیر است و از طول جغرافیایی 4° درجه غربی تا حدود 7° درجه شرقی را در بر می‌گیرد. فراوانی مرکز پرفسار در دو ماه مه و سپتامبر که ماههای انتقالی محسوب می‌شوند، تقریباً مشابهند؛ به طوری که مرکز پرفسار در این دو ماه در دو منطقه یکی روی غرب و مرکز آفریقا و دیگری روی شبے جزیره عربستان متمرکز شده است. در ماههای تابستان مرکز پرفسار به عرضهای جغرافیایی بالاتر (بویژه بر روی آفریقا) جایه‌جا شده است و علاوه بر دو منطقه فوق مرکز پرفساری نیز روی ایران ظاهر می‌شود (شکل‌های ۲-ح تا ۲-ن). استقرار این مرکز پرفسار بر روی ایران، وجود توابعی منفی زیاد در تراز ۵۰۰ هکتوپاسکال را- که در بخش پیشین ملاحظه شد (شکل ۱-ب)- توجیه می‌کند.



تحليل الگوی فضایی پرفشار جنوب حاره ...

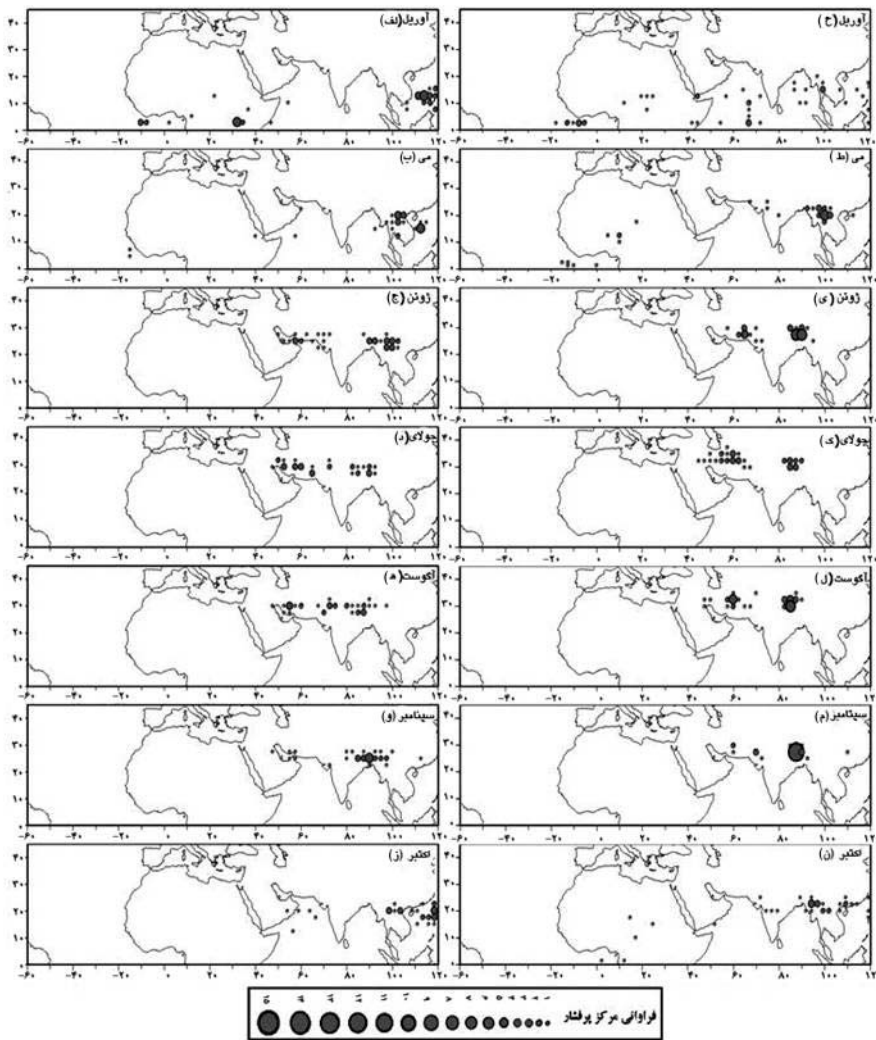


شکل ۲ فرآینی ۳۰ ساله (۱۹۷۱-۲۰۰۰) موقعیت جغرافیایی مرکز پرفشار جنوب حاره از ماه آوریل تا اکتبر. شکلهای ۲-الف تا ۲-ز (سمت راست) مربوط به تراز ۱۰۰۰ هکتوپاسکال و شکلهای ۲-ج تا ۲-ن (سمت چپ) مربوط به تراز ۵۰۰ هکتوپاسکال است.

بررسی فراوانی مراکز پرفسار جنب حاره در تراز ۲۰۰ هكتوپاسکال بیانگر آن است که در طی ماه آوریل، مرکز پرفسار جنب حاره در جنوب شرق آسیا روی دریای چین جنوبی قرار داشته (شکل ۳-الف)، در ماه مه بر روی هندوچین استقرار یافته (شکل ۳-ب) و از ماه ژوئن ضمن جابه‌جایی به سمت شمال، در جهت شمال غرب به سوی مناطق خشکی غرب آسیا حرکت کرده است (شکل ۳-ج). این مراکز در طی ماههای ژوئیه و اوت به شمالی‌ترین موقعیت خود رسیده و به شکل کمربندی از شرق فلات تبت تا غرب ایران، بالاتر از مدار ۳۰ درجه شمالی، استقرار پیدا کرده‌اند (شکلهای ۳-د، ۳-ه). در طی ماههای سپتامبر و اکتبر این مراکز به طور مجدد به عرضهای جنوبی‌تر باز می‌گردند (شکلهای ۳-و، ۳-ز).

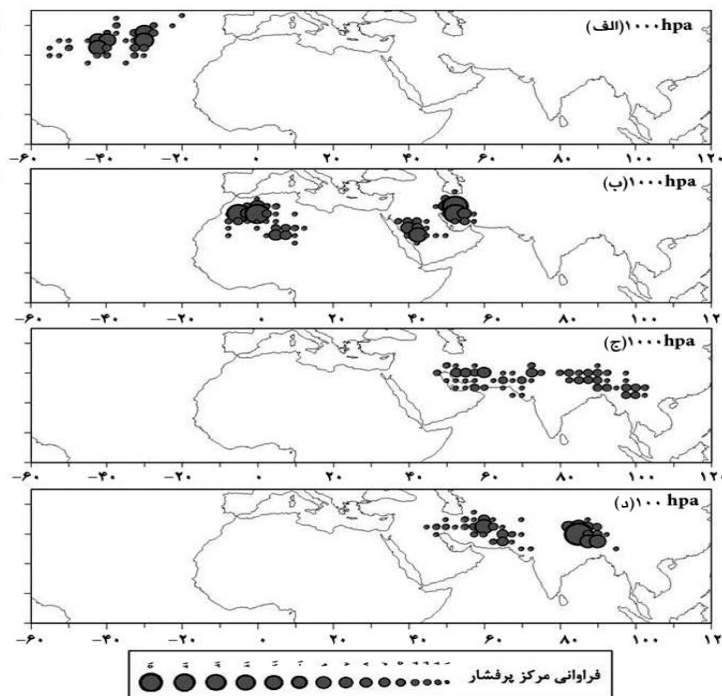
بررسی فراوانی مرکز پرفسار جنب حاره در تراز ۱۰۰ هكتوپاسکال نشان می‌دهد که در ماه آوریل موقعیت جغرافیایی مرکز پرفسار بسیار پراکنده است و از جنوب شرق آسیا تا خلیج گینه را در بر می‌گیرد (شکل ۳-ح). در ماه مه مرکز پرفسار جنب حاره بیشتر روی جنوب شرق آسیا (هندوچین-برمه) مستقر شده (شکل ۳-ط) و در طی ماههای ژوئن تا اوت، ضمن جابه‌جایی مرکز فوق به عرضهای شمالی‌تر، مرکز دیگری نیز در شرق فلات ایران پدیدار می‌شود (شکلهای ۳-ی تا ۳-ل). نکته جالب در این تراز، تمرکز مرکز پرفسار بر روی مناطق جغرافیایی خاص و عدم پراکندگی آن است؛ به طوری که دو منطقه فلات تبت و فلات ایران مناطقی هستند که مرکز پرفسار به طور عمد بر روی آنها استقرار یافته است.

در ماه سپتامبر مرکز پرفسار به طور مجدد به سوی شرق مهاجرت کرده و بیشتر بر روی فلات تبت مستقر شده است (شکل ۳-م). در ماه اکتبر نیز با وجود پراکندگی موقعیت جغرافیایی مرکز پرفسار، بیشینه آن بر روی کشور برمه قرار می‌گیرد (شکل ۳-ن).



شکل ۳ این شکل مانند شکل ۲ بجز آنکه شکلهای ۳-الف تا ۳-ز (سمت راست) مربوط به تراز ۲۰۰ هکتوپاسکال و شکل های م-ح تا ۳-ن (سمت چپ) مربوط به تراز ۱۰۰ هکتوپاسکال است.

شکل ۴ فراوانی مراکز پرفسار جنب حاره را در طی فصل تابستان (ژوئن-ژوییه- اوت) برای دوره ۳۰ ساله (۱۹۷۱-۲۰۰۰) نشان می‌دهد. همان طوری که قبل مشاهده شد و شکل ۴-الف نیز نشان می‌دهد در تراز ۱۰۰ هكتوپاسکال مرکز پرفسار جنب حاره در طی فصل تابستان به طور عمده روی اقیانوس اطلس شمالی در حدفاصل مدارهای ۳۰ - ۴۰ شمالی متغیرکز می‌شود. شکل ۴-ب فراوانی مرکز پرفسار جنب حاره را در تراز ۵۰۰ هكتوپاسکال برای فصل تابستان نشان می‌دهد. همان طوری که در شکل ملاحظه می‌شود، مرکز پرفسار جنب حاره با توجه به فراوانی وقوع آن بترتیب روی شمال غرب آفریقا، ایران و شبه جزیره عربستان استقرار پیدا می‌کند. شکل ۴-ج و ۴-د مجموع فراوانی مرکز پرفسار جنب حاره فصل تابستان در تراز ۲۰۰ هكتوپاسکال را نشان می‌دهد. با توجه به شکل، حدود نیمی از مراکز پرفسار جنب حاره در این تراز روی فلات ایران واقع است. بررسی فراوانی موقعیت جغرافیایی مرکز پرفسار در ماههای تابستان در تراز ۱۰۰ هكتوپاسکال نشانگر دو مُدی بودن موقعیت استقرار این مرکز بر روی فلات تبت و فلات ایران است.



شکل ۴ فرآwanی ۳۰ ساله (۱۹۷۱-۲۰۰۰) موقعیت جغرافیایی مرکز پرفشار جنوب حاره در فصل تابستان (ژوئن-ژوییه-اوت).

۳-۳- تحلیل خط پشتہ پرفشار جنوب حاره

خط پشتہ که بیانگر موقعیت متوسط عرضی مرکز پرفشار جنوب حاره است، می‌تواند معیاری برای تعیین موقعیت مکانی پرفشار جنوب حاره به شمار آید. خط پشتہ پرفشار جنوب حاره حدفاصل جریانهای غربی در شمال و جریانهای شرقی در جنوب آن است. در برخی از ماههای بررسی شده به دلیل نبود پرفشار جنوب حاره، خط پشتہ به صورت ممتد نبوده و در برخی از نصف النهارها قطع شده است (شکل ۵).

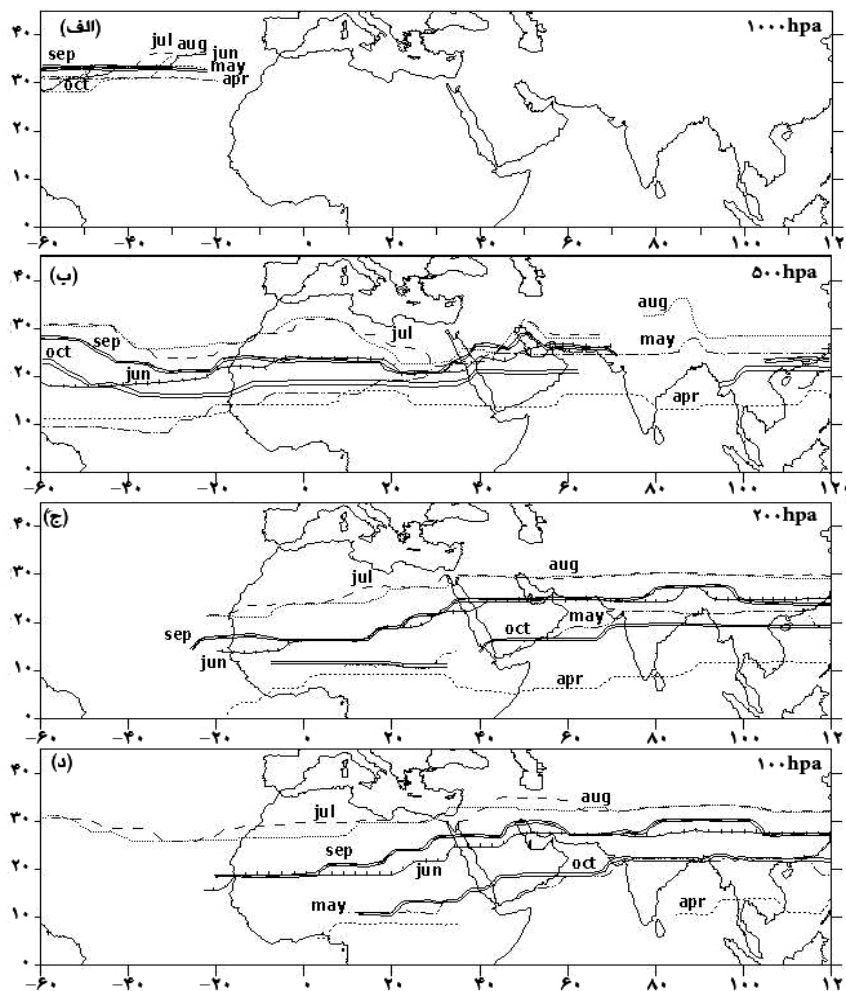
بررسی خط پشتہ در تراز ۱۰۰۰ هکتوپاسکال نشان می‌دهد که خط پشتہ در این تراز در طول جغرافیایی $W - 60^{\circ}$ گستردگی شده و موقعیت میانگین آن در فصل تابستان در حدود

عرض جغرافیایی $32^{\circ}5'$ درجه می باشد (شکل ۵-الف). در این تراز خط پشته جابه جایی چندانی از نظر عرض و طول جغرافیایی نداشته و از ماه آوریل تا اوت بتدريج جابه جایی اندکی به سوی عرضهای جغرافیایی بالاتر داشته و در ماههای سپتامبر و اکتبر به طور مجدد به عرضهای جنوبی تر منتقل می شود.

در تراز 500° هكتوپاسکال خط پشته گسترش مداری قابل ملاحظه ای داشته است؛ به طوری که از غرب تا شرق منطقه مطالعه شده را در بر می گیرد. در عین حال، گسترش عرضی آن به حدود 25° درجه ($N-35^{\circ}$) می رسد. بالاترین عرض جغرافیایی مشاهده شده خط پشته در این تراز مربوط به ماه اوت است که در منطقه شمال فلات تبت به بیشینه مقدار خود ($N-37^{\circ}5'$) می رسد و کمترین عرض جغرافیایی نیز مربوط به ماه آوریل است که در حدود عرض جغرافیایی $N-10^{\circ}$ مستقر است. در ماههای ژوئیه و اوت، خط پشته پرفشار جنب حاره در سه منطقه شمال آفریقا، غرب عربستان و جنوب غرب ایران و در ماههای اوت و مه در منطقه فلات تبت به سوی عرض جغرافیایی بالاتر جهش پیدا می کند (شکل ۵-ب).

در تراز 200° هكتوپاسکال، خط پشته پرفشار جنب حاره در حدود 145° درجه ($E-120^{\circ}$) $W-25^{\circ}$ گسترش طولی و 25° درجه ($N-30^{\circ}$) گسترش عرضی دارد. در این تراز خط پشته در دو ماه مه و اکتبر ممتد نبوده و در منطقه فلات اتیوپی گسیخته شده است (شکل ۵-ج). به طوری که در شکل دیده می شود، خط پشته در ماههای ژوئن و سپتامبر در منطقه فلات تبت به سوی عرض جغرافیایی بالاتر جهش پیدا می کند.

بررسی خط پشته پرفشار جنب حاره در تراز 100° هكتوپاسکال نشاندهند پیش روی آن به عرضهای جغرافیایی بالاتر نسبت به تراز 200° هكتوپاسکال است. در این تراز خط پشته در ماه آوریل در منطقه اقیانوس هند - شاخ آفریقا دچار گسیختگی شده است. در دو ماه ژوئیه و اوت خط پشته تمام منطقه مطالعه شده را از نظر طولی دربرگرفته و در بقیه ماهها از شرق منطقه تا ساحل غربی آفریقا گسترده شده است. از نظر گسترش عرضی نیز در این تراز، خط پشته در طی ماههای مطالعه شده (آوریل - اکتبر) در حدود 22° درجه ($N-32^{\circ}$) گسترش عرضی دارد. بالاترین عرض جغرافیایی مشاهده شده در این تراز مربوط به ماه اوت است که در منطقه فلات ایران به بیشینه خود، یعنی به عرض جغرافیایی $N-32^{\circ}5'$ می رسد (شکل ۵-د).



شکل ۵ میانگین ۳۰ ساله (۱۹۷۱-۲۰۰۰) خط پشتہ پرفشار جنوب حاره (۵-الف) تراز ۱۰۰۰ هکتوپاسکال؛ (د)

-ب: تراز ۵۰۰ هکتوپاسکال؛ -ج: تراز ۲۰۰ هکتوپاسکال؛ -د: تراز ۱۰۰ هکتوپاسکال

بررسی شکل ۵ نشان می‌دهد که بیشترین جهش خط پشتہ از نظر عرض جغرافیایی در سه تراز ۵۰۰، ۲۰۰ و ۱۰۰ هکتوپاسکال از ماه ژوئن به ژوییه است که در امتداد برخی

نصف النهارها حتّی به ۱۰ درجه نیز می رسد.

۴- نتیجه‌گیری

یافته‌های تحقیق ویژگیهای جغرافیایی مراکز پرفسار جنوب حاره منطقه آسیا و آفریقا را به عنوان مهمترین عامل بلافضل در اقلیم دوره گرم سال در این مناطق بیان می‌کند. بررسی پرفسار جنوب حاره در ۴ تراز ۱۰۰۰، ۵۰۰، ۲۰۰ و ۱۰۰ هکتوپاسکال در منطقه مطالعه شده ($60^{\circ}W - 120^{\circ}E$) نشان داد که فقط فلات ایران در هر دو تراز میانی و فوقانی وردسپهر دارای پرفسار مستقل است. سایر مناطق از جمله فلات تبت تنها در تراز فوقانی و شمال غرب آفریقا و شبه جزیره عربستان فقط در تراز میانی وردسپهر دارای مراکز پرفسار می‌باشند. به همین ترتیب، پرفسار آزور فقط در تراز زیرین وردسپهر گسترش پیدا می‌کند. این نتیجه برخلاف تصور موجود در متون اقلیم‌شناسی ایران مبنی بر گسترش پرفسار آزور تا وردایست است^[۲۰]. همچنین براساس نتایج به دست آمده، پرفسار جنوب حاره ایران برخلاف یافته‌های پیشین، در هیچ ترازی زبانه‌ای از پرفسار آزور نیست^[۲۱]، صص ۲۲؛ ۳۶۲؛ ۳۶۶-۲۱۶؛ ۲۳؛ ۲۴، صص ۷۴-۹۰]. در واقع پرفسار آزور فقط در تراز زیرین وردسپهر روی مجمع الجزایر آزور واقع در شرق اقیانوس اطلس شمالی تشکیل و در ترازهای میانی و فوقانی وردسپهر مشاهده نمی‌شود، در صورتی که پرفسار ایران در تراز میانی و بویژه فوقانی وردسپهر، یکی از مهمترین مراکز پرفسار در نیمکره شمالی به شمار می‌آید.

بررسی موقعیت جغرافیایی مرکز پرفسار جنوب حاره در فصل تابستان در ترازهای مختلف وردسپهر نشان می‌دهد که در تراز ۱۰۰۰ هکتوپاسکال، مرکز پرفسار روی شرق اقیانوس اطلس از ثبات و تمرکز خاصی برخوردار است؛ در صورتی که موقعیت مرکز پرفسار در سایر ترازهای بررسی شده، در یک منطقه معین تمرکز نیست و حالت دو یا چند مُدی دارد. الگوی موقعیت جغرافیایی مرکز پرفسار در فصل تابستان در ترازهای ۱۰۰۰، ۵۰۰، ۲۰۰ و ۱۰۰ هکتوپاسکال بترتیب یک مُدی(شرق اقیانوس اطلس)، سه مُدی(شمال غرب آفریقا- عربستان- ایران)، پراکنده(از جنوب چین تا غرب ایران) و دو مُدی(فلات تبت- فلات ایران) است(شکلهای ۴-الف تا ۴-د). این نتیجه بوضوح بیانگر آن است که پرفسارهای جنوب حاره-

1. tropopause



ای مستقر بر روی آسیا و آفریقا در ترازهای مختلف وردسپهر بر یکدیگر انطباق نداشت و باید سازوکار تشکیل و تقویت متفاوتی داشته باشد.

بررسی میانگین ۳۰ ساله (۱۹۷۱-۲۰۰۰) خط پشته پروفشار جنب حاره در طی ماههای آوریل تا اکتبر در ترازهای مورد بررسی بیانگر آن است که در تمامی ترازها خط پشته در ماه آوریل در جنوبی‌ترین موقعیت خود قرار دارد. بتدریج از ماه مه به عرضهای جغرافیایی بالاتر جابه جا شده و در ماه اوت به بالاترین عرض جغرافیایی مه رسید. سپس در ماههای سپتامبر و اکتبر به طور مجدد به عرضهای جنوبی‌تر منتقل می‌شود. کمترین گسترش مداری خط پشته پروفشار جنب حاره مربوط به تراز ۱۰۰۰ هکتوپاسکال و بیشترین آن مربوط به تراز ۵۰۰ هکتوپاسکال است که بترتیب در حدود ۴۰ درجه ($W-60^{\circ}$) و ۱۸۰ درجه ($E-120^{\circ}$) گسترش پیدا کرده‌اند. بیشینه عرض جغرافیایی خط پشته پروفشار جنب حاره در تمامی ترازها مربوط به ماه اوت است که در تراز ۵۰۰، ۲۰۰ و ۱۰۰ هکتوپاسکال بترتیب روی خلیج شمالی فلات تبت، منطقه وسیعی از شرق تا غرب آسیا و ایران قرار گرفته است. بیشترین جهش خط پشته از نظر عرض جغرافیایی در سه تراز ۵۰۰، ۲۰۰ و ۱۰۰ هکتوپاسکال از ماه ژوئن به ژوییه است که در امتداد برخی نصف‌النهارها حتی به ۱۰ درجه نیز می‌رسد.

نتایج فوق در رابطه با الگوی فضایی استقرار مراکز پروفشار جنب حاره، بیانگر وجود سازوکار و ماهیت متفاوت مراکز پروفشار جنب حاره در منطقه آسیا و آفریقا در طی دوره گرم سال می‌باشد. کشف عل ظهور چنین الگوی متفاوتی، ضرورت انجام بررسیهای دقیقت در مورد نحوه شکلگیری و تکوین پروفشارهای جنب حاره و به‌طورکلی ماهیت این پروفشارها در منطقه آسیا و آفریقا - بویژه ایران - را الزامی می‌سازد.

۵- تشکر و قدردانی

از سازمان هواشناسی کشور به دلیل حمایتهای مالی در انجام این پژوهش تشکر می‌شود.

۶- منابع

- [1] Wu G., Liu Y., P. Liu; Formation of the summertime subtropical Anticyclone; In: C.P. Chang (Editor), East Asian Monsoon (World Scientific Series on

Meteorology of East Asia), World Scientific Publishing Company, Singapore, 2004.

- [2] Reed T. R.; Thermal aspect of the high-level anticyclone; *Monthly Weather Review*, Vol. 67, No. 7, 1939.
- [3] Mason R.B, Anderson C.E.; The development and decay of the 100 mb Summertime anticyclone over southern Asia; *Monthly Weather Review*, 93, 1963.
- [4] Neyama Y.; The morphology of the subtropical anticyclone; *Jounal of Meteorological Society of Japan*, Vol. 46, 1968.
- [5] Bell G. D, Bosart L. F.; A 15-year climatology of northern hemisphere 500 mb closed cyclone and anticyclone centers; *Monthly Weather Review*, Vol. 117, No .10, 1989.
- [6] Gao, Y. Some aspects of recent research on the Qinghai-Xizang (Tibetan)Plateau Meteorology. *Bulletin of the American Meteorological Society*, Vol. 62, No. 1, 1981.
- [7] Krishnamurti T. N. ; Tropical east-west circulations during the northern summe; *Journal of Atmospheric Science*, Vol. 28, 1971.
- [8] Krishnamurti T. N., Daggupaty S. M., Fein J., kanamitsu M., J. D Lee. ; Tibetan High and upper tropospheric tropical circulations during northern summer. *Bulletin of the American Meteorological Society*, Vol. 54, No.12, 1973.
- [9] Yeh T. C. ; Some characteristics of the summer circulation over the Qinghai-Xizang (Tibet)Plateau and its neighborhood; *Bulletin of the American Meteorological Society*, Vol. 62, No. 1, 1981.



- [10] Yeh T. C. ; Some aspects of the thermal influences of the Qinghai-Tibetan Plateau on the Atmospheric Circulation. *Archives for Meteorology, Geophysics, and Bioclimatology, Series A*, Vol. 31, 1982.
- [11] Davis R. E., Hayden B. P., Gay D. A., Phillips W. L., Jones G. V. ; The north atlantic subtropical anticyclone; *Journal of Climate*, Vol. 10, No. 4, 1997.
- [12] Zhang Q ,Wu G.; The bimodality of 100hPa south asia high and its relationship to the climate anomaly over east asia in summer; *Journal of the Meteorological Society of Japan*, Vol. 80,No. 4, 2002.
- [13] Qian Y., Zhang Q., Yao Y., Zhang X. ; Seasonal variation and heat Preference of the south asia high; *Advances in Atmospheric Sciences*,Vol. 19, 2002.
- [14] Galarneau T. J., Bosart L. F., Aiyyer A. R. ; Closed anticyclones of subtropical and middle latitude: A 54-year (1950-2003) climatology and three case studies; *Submitted to J. Climate*, 2006.
- [۱۵] حجازیزاده، ز.ب؛ بررسی سینوپتیکی نوسانات فشار زیاد جنوب حاره؛ رساله دکتری جغرافیای طبیعی، دانشگاه تربیت مدرس، ۱۳۷۲.
- [16] Kistler R., Kalnay E., Collins W., Saha S., White G., Woollen J., ; The NCEP/NCAR50-year reanalysis: Monthly means CD-ROM and documentation; *Bulletin of the American Meteorological Society*,Vol. 82, 2001.
- [17] Parker S. S., Hawes J. T., Colucci S. J., Hayden B. P; Climatology of 500 mb Cyclones and Anticyclones, 1950-85. *Monthly Weather Review*, 117, 1989.
- [18] Zhang Q.,Wu G. ; The Bimodality of 100hPa south asia high and its relationship to the climate anomaly over east asia in summer; *Journal of the Meteorological Society of Japan*,Vol. 80, No. 4,2002.
- [19] Stull R.; Meteorology for scientists and engineers (second edition ed.): Brooks/Cole, 502p, 2000.

[۲۰] بوشر، ک؛ آب و هوای کره زمین؛ ترجمه: بهلول علیجانی؛ ج ۲، انتشارات سمت، ۱۳۷۳.

[21] Snead R.; Weather pattern in southern west Pakistan, archives for Meteorology, Geophysics and Bioclimatology; Series B, Vol. 16, 1988.

[22] Lydolph P. E.; Climate of the soviet union; in: World Survey of Climatology, Vol. 7, Elsevier Scientific Pub., 362p, 1977.

[۲۳] علیجانی، ب؛ آب و هوای ایران؛ انتشارات پیام نور، ۱۳۷۶.

[۲۴] سلیقه، م؛ مدل‌سازی اثرهای آب و هوایی کم فشارهای حرارتی در منطقه جنوب حاره؛

فصلنامه تحقیقات جغرافیایی، ش ۱۳۸۲، ۷۰